

УДК 532.516.013.4:536.25

© 1990 г.

А. Т. ЛИПЧИН

УСТОЙЧИВОСТЬ КОНВЕКТИВНОГО ТЕЧЕНИЯ ВЯЗКОЙ ЖИДКОСТИ В ПОРИСТОМ И СВОБОДНОМ ВЕРТИКАЛЬНЫХ СЛОЯХ

Интерес к конвекции в областях, одна часть которых занята вязкой жидкостью, а другая — насыщенной этой жидкостью пористой средой, обусловлен целым рядом приложений. К таким задачам приводит, например, рассмотрение гидродинамических процессов вблизи фронта кристаллизации, поскольку конвекцию расплава в междендритном пространстве можно моделировать фильтрационным течением.

Конвективная устойчивость равновесия горизонтального слоя жидкости, заключенного между слоями пористой среды, при поперечном градиенте температуры исследована в [1]. Ситуация, когда пористый слой расположен между двумя горизонтальными слоями жидкости, рассмотрена в [2]. В обоих работах использовалось уравнение движения для конвективной фильтрации в приближении Дарси — Буссинеска, а на границе раздела жидкость — пористая среда ставились условия непрерывности давления, прилипания для тангенциальной составляющей скорости жидкости и равенства нормальных компонент скорости жидкости и фильтрационной скорости. При увеличении проницаемости и толщины пористых слоев волновое число и число Рэлея критических возмущений уменьшаются, что связано с проникновением возмущений в пористую среду. Для некоторых значений параметров нейтральные кривые имеют два минимума.

Конвективная устойчивость равновесия жидкости в системе, состоящей из горизонтального слоя насыщенной пористой среды, ограниченного тонкими вязкими слоями, исследовалась в [3, 4]. Конвекция в пористой среде описывалась уравнением Дарси — Буссинеска. На границе раздела ставились условия проскальзывания Биверза — Джозефа [5]. Было обнаружено, что наличие тонких вязких слоев незначительно понижает критическое число Рэлея по сравнению со случаем пористого слоя, ограниченного твердыми поверхностями.

В данной работе исследуется линейная устойчивость конвективного течения в системе, состоящей из вертикального слоя жидкости и примыкающего к нему слоя насыщенной этой жидкостью пористой среды. Жидкость и пористая среда ограничены изотермическими плоскостями, нагретыми до разных температур.

Фильтрационное течение, подчиняющееся закону Дарси, в вертикальном пористом слое, подогреваемом сбоку, устойчиво относительно малых возмущений [6]. В [7–9] исследовано влияние на устойчивость конвективной фильтрации различных факторов, не рассматриваемых в [6]: зависимости вязкости от температуры; условий прилипания (модификация Бринкмана уравнения Дарси); инерционных эффектов (модификация Форхтгеймера уравнения Дарси) и наличия производной по времени в уравнении движения.

Задача об устойчивости течения жидкости в вертикальном слое между изотермическими границами при подогреве сбоку принадлежит к числу классических в теории конвективной устойчивости [10]. Для этого течения, имеющего кубический профиль скорости и линейный профиль температуры, существуют два механизма неустойчивости. Гидродинамическая мода, связанная с развитием системы неподвижных вихрей на границе раздела встречных потоков, имеет место при всех числах Прандтля. При числах Прандтля, превышающих критическое значение 11,56, появляется и быстро становится наиболее опасной с точки зрения устойчивости тепловая мода, обусловленная нарастанием температурных волн, распространяющихся в восходящем и нисходящем потоках. Влияние проникновения температурных возмущений в окружающие жидкость массивы на устойчивость такого течения изучено в [11].

1. Рассмотрим вертикальный слой жидкости ($-2h < x < 0$) и примыкающий к нему слой пористой среды, насыщенной этой жидкостью ($0 < x < 2l$); x — поперечная координата; ось z направим вертикально вверх. Система в целом замкнута и имеет изотермические границы, нагретые до разных

температур

$$x=-2h: \quad T=\Theta, \quad x=2l: \quad T=-\left(2\frac{l}{h}\frac{\kappa_1}{\kappa_2}+1\right)\Theta$$

Здесь κ_1 и κ_2 — коэффициенты теплопроводности жидкости и насыщенной пористой среды; при сделанном выборе значения температуры на правой границе в режиме плоскопараллельного стационарного течения имеем $T=-\Theta$ на границе раздела ($x=0$). Для описания движения жидкости в вязком слое применяется уравнение конвекции в приближении Буссинеска [10], а в пористом слое — уравнения конвективной фильтрации в приближении Дарси — Буссинеска. Если в качестве единиц выбрать: h — расстояния, h^2/ν — времени, ν/h — скорости, $\nu^2/g\beta h^3$ — температуры, $\rho\nu^2/h^2$ — давления, где ν , ρ , β — кинематическая вязкость, плотность и коэффициент теплового расширения жидкости; g — ускорение силы тяжести, то уравнения Буссинеска и конвективной фильтрации запишутся в безразмерном виде следующим образом:

$$\begin{aligned} \frac{\partial \mathbf{v}}{\partial t} + (\mathbf{v} \nabla) \mathbf{v} &= -\nabla p_1 + \Delta \mathbf{v} + T_1 \boldsymbol{\gamma} & (-2 < x < 0) \\ \frac{\partial T_1}{\partial t} + \mathbf{v} \nabla T_1 &= \frac{1}{Pr} \Delta T_1, \quad \nabla \mathbf{v} = 0 \\ \frac{1}{4s^2 Da} \mathbf{u} &= -\nabla p_2 + T_2 \boldsymbol{\gamma} & (0 < x < 2s) \\ \chi \frac{\partial T_2}{\partial t} + \chi \mathbf{u} \nabla T_2 &= \frac{1}{Pr} \Delta T_2, \quad \nabla \mathbf{u} = 0 \end{aligned} \quad (1.1)$$

$$Pr = \frac{\nu}{\chi_1}, \quad s = \frac{l}{h}, \quad Da = \frac{K}{(2l)^2}, \quad \chi = \frac{\chi_1}{\chi_2}, \quad \kappa = \frac{\kappa_1}{\kappa_2}$$

Здесь \mathbf{v} и \mathbf{u} — скорость жидкости и скорость фильтрации; $T_{1,2}$, $p_{1,2}$ — температура и давление в вязком и пористом слое (здесь и далее величины, снабженные индексами 1 и 2, относятся соответственно к жидкости и пористой среде); $\boldsymbol{\gamma}$ — единичный вектор, направленный против силы тяжести; Da — число Дарси, определенное по ширине пористого слоя; K — проницаемость пористой среды; Pr — число Прандтля; $\chi_{1,2}$ — коэффициент температуропроводности. В отличие от [10] χ_2 определено через удельную теплоемкость насыщенной пористой среды: $\chi_2 = \kappa_2 / (\rho C_p)_2$.

Тепловые граничные условия имеют вид

$$\begin{aligned} x=-2: \quad T_1 &= Gr; \quad x=2s: \quad T_2 = -(2s\kappa+1)Gr \\ x=0: \quad T_1 &= T_2, \quad \kappa \frac{\partial T_1}{\partial x} = \frac{\partial T_2}{\partial x}; \quad Gr = \frac{g\beta h^3 \Theta}{\nu^2} \end{aligned}$$

Здесь Gr — число Грасгофа, определенное через полуразность температур на границах вязкого слоя (в плоскопараллельном режиме).

На твердой поверхности в вязком слое имеем для скорости жидкости обычное условие прилипания, на твердой поверхности в пористой среде исчезает нормальная компонента скорости фильтрации. На границе раздела жидкость — пористая среда для скорости жидкости и фильтрационной скорости должны выполняться равенство их нормальных компонент и условие проскальзывания Биверса — Джозефа

$$\begin{aligned} x=-2: \quad \mathbf{v} &= 0, \quad x=2s: \quad u_x = 0 \\ x=0: \quad v_x &= u_x, \quad -\frac{\partial v_z}{\partial x} = \frac{\alpha}{2s\sqrt{Da}}(v_z - u_z) \end{aligned} \quad (1.2)$$

Здесь α — коэффициент проскальзывания, характеризующий состояние поверхности пористой среды. Далее будет рассматриваться плоская задача, т. е. $v_y = u_y = 0$.

Имеющиеся экспериментальные данные (см., например, [5]) свидетельствуют о том, что α по порядку величины равно 0,1–1. При больших значениях α и достаточно малых числах Дарси ($|u_z| \ll |v_z|$) условие (1.2) переходит в условие прилипания (твердая граница), а при малых значениях α — в условие равенства нулю касательного напряжения (свободная граница).

Вместо условия непрерывности давления на границе раздела использовалось более общее условие (см. [3, 4]), при этом вся система в целом считается замкнутой

$$x=0: \quad -p_1 + 2 \frac{\partial v_x}{\partial x} = -p_2$$

$$\int_{-2}^0 v_z dx + \int_0^{2s} u_z dx = 0$$

Распределения скорости жидкости, фильтрационной скорости, температуры и давления в стационарном плоскопараллельном течении имеют вид

$$v_0 = \frac{1}{6} Gr (x^3 + 3(1-a)x^2 + 2bx - 4c), \quad T_{1,0} = -Gr(x+1) \quad (-2 < x < 0)$$

$$u_0 = -4s^2 Da Gr (\kappa x + 1 - a), \quad T_{2,0} = -Gr(\kappa x + 1) \quad (0 < x < 2s)$$

$$p_0 = -Gr az \quad (-2 < x < 2s) \quad (1.3)$$

$$a = s\sqrt{Da} \{1 + 6s\sqrt{Da}[\alpha + 2s(s\kappa + 1)(\alpha + s\sqrt{Da})]\} / d$$

$$b = \alpha \{1 - 18s^2 Da [1 - 4s^4 \kappa Da + 2s(s\kappa + 2/3)]\} / d$$

$$c = s\sqrt{Da} \{1 + 6s\sqrt{Da}[\alpha - 6s^2\sqrt{Da}(s\kappa + 2/3) - 12\alpha s^4 \kappa Da]\} / d$$

$$d = \alpha + 4s\sqrt{Da} + 6\alpha s^2 Da + 12s^3 Da (\alpha + s\sqrt{Da})$$

Профили скорости жидкости и фильтрационной скорости для различных значений параметров изображены на фиг. 1–3. При малых числах Дарси скорость фильтрации много меньше характерной скорости движения жидкости в вязком слое и на фрагментах фиг. 1, а, б и 3, а в масштабах рисунков не может быть отражена.

2. Исследуем линейную устойчивость такого течения относительно плоских нормальных возмущений вида $\exp\{-\lambda t + ikz\}$, где $\lambda = \lambda_r + i\lambda_i$ — комплексный декремент возмущений, k — волновое число. При этом для амплитуд возмущений функции тока в жидкости $\psi(x)$ и в пористой среде $\vartheta(x)$, а также амплитуд возмущений температуры $\vartheta_{1,2}(x)$ получим следующую краевую задачу:

$$-\lambda \Delta \psi + ikv_0 \Delta \psi - ikv_0'' \psi = \Delta \Delta \psi + \vartheta_1' \quad (-2 < x < 0)$$

$$-\lambda \vartheta_1 + ikv_0 \vartheta_1 + ik Gr \psi = \frac{1}{Pr} \Delta \vartheta_1$$

$$\Delta \psi = 4s^2 Da \vartheta_2' \quad (0 < x < 2s) \quad (2.1)$$

$$-\lambda \chi \vartheta_2 + ik\kappa u_0 \vartheta_2 + ik\kappa^2 Gr \psi = \frac{1}{Pr} \Delta \vartheta_2$$

$$\Delta = \frac{d^2}{dx^2} - k^2$$

$$x = -2: \quad \psi = \psi' = \vartheta_1 = 0; \quad x = 2s: \quad \psi = \vartheta_2 = 0$$

$$x=0: \quad \varphi=\psi, \quad -\varphi'' = \frac{\alpha}{2s\sqrt{Da}}(\varphi' - \psi'), \quad \vartheta_1 = \vartheta_2$$

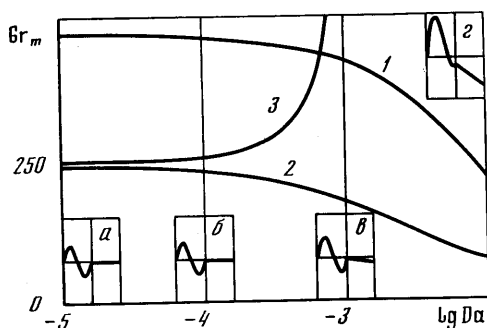
$$x\vartheta_1' = \vartheta_2', \quad (\lambda - ikv_0 - 3k^2)\varphi' + ikv_0'\varphi + \varphi''' = -\frac{1}{4s^2 Da} \psi'$$

Штрихом обозначено дифференцирование по x . Краевая задача (2.1) решалась методом дифференциальной прогонки. Определялись спектральные значения λ при заданных остальных параметрах. Граница устойчивости находится из условия $\lambda_r = 0$; мнимая часть декремента λ_i при этом дает частоту нейтральных возмущений.

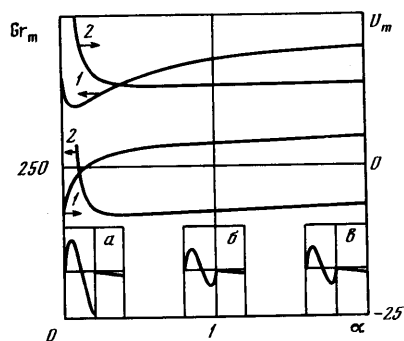
Целью данной работы является выяснение влияния условий гидродинамического сопряжения на границе вязкого и пористого слоев. Поэтому во всех расчетах тепловые свойства жидкости и пористой среды, насыщенной этой жидкостью, предполагались одинаковыми: $\kappa=1$, $\chi=1$.

На фиг. 1 изображена зависимость минимального по k критического числа Грасгофа Gr_m от числа Дарси. Вязкий и пористый слои имеют одинаковую толщину $s=1$; коэффициент проскальзывания равен $\alpha=1$. Здесь и далее на фиг. 2, 3 и 4 кривая 1 соответствует гидродинамической моде неустойчивости при $Pg=0,1$; кривые 2 и 3 описывают устойчивость относительно температурных волн, распространяющихся соответственно в восходящем ($\lambda_i > 0$) и нисходящем ($\lambda_i < 0$) потоках, при $Pg=15$. На фрагментах изображены профили скорости в вязком слое и фильтрационной скорости для фиксированного значения числа Грасгофа и разных чисел Дарси: $a - 10^{-5}$, $b - 10^{-4}$, $\beta - 10^{-3}$, $\gamma - 10^{-2}$. Увеличение проницаемости пористого слоя (т. е. числа Дарси) приводит к увеличению интенсивности течения в вязком слое и вместе с тем к отклонению его профиля от кубического.

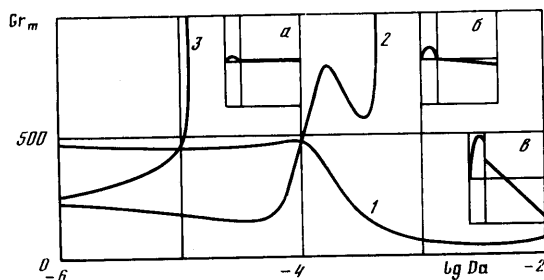
С ростом Da устойчивость течения относительно гидродинамических возмущений понижается (кривая 1). Для $Da=0$, когда массив ($0 < x < 2s$) непроницаем, но имеется тепловое взаимодействие между обоими слоями в отличие от случая идеально теплопроводных границ слоя жидкости,



Фиг. 1



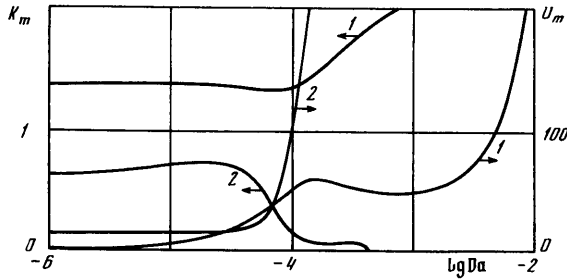
Фиг. 2



Фиг. 3

гидродинамические возмущения немонотонны и связаны с образованием системы дрейфующих вихрей на границе раздела встречных потоков [11]. Это обусловлено нарушением симметрии задачи для возмущений. Однако скорость дрейфа системы вихрей на два порядка меньше максимальной скорости в основном течении. С ростом числа Дарси фазовая скорость возмущений резко возрастает и при $Da=10^{-2}$ становится сравнимой с максимальной скоростью в основном течении. Вихри при этом двигаются вместе с восходящим потоком, обладающим относительно большей интенсивностью.

С увеличением Da интенсивность восходящего потока увеличивается, а интенсивность нисходящего потока в вязком слое уменьшается. При этом устойчивость относительно температурных волн, распространяющихся



Фиг. 4

вместе с восходящим потоком (кривая 2), уменьшается, а относительно волн, распространяющихся вместе с нисходящим потоком (кривая 3), увеличивается. С увеличением Da до значения $Da=1,05 \cdot 10^{-3}$ происходит стабилизация волн, бегущих вниз ($Gr_m \rightarrow \infty$); критические волновые числа, соответствующие минимуму нейтральной кривой, при этом уменьшаются до нуля.

На фиг. 2 показаны зависимости числа Грасгофа Gr_m и фазовой скорости u_m , отвечающих минимуму нейтральной кривой $Gr(k)$, от коэффициента проскальзывания α для $Da=10^{-3}$. Толщины пористого и вязкого слоев по-прежнему считаются одинаковыми: $s=1$. На фрагментах *a*, *b* и *в* приведены профили скорости соответственно для $\alpha=0$; 1 и 2. При $\alpha \geq 1$ характеристики неустойчивости для обеих мод практически не зависят от α . С уменьшением α устойчивость течения увеличивается. Критические волновые числа гидродинамических и тепловых возмущений при этом уменьшаются. В случае $\alpha < 0,19$ гидродинамические возмущения двигаются вместе с нисходящим потоком, интенсивность которого становится выше, чем у восходящего.

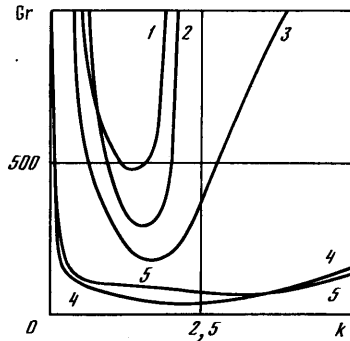
На фиг. 3 и 4 изображены зависимости минимального по k числа Грасгофа Gr_m и отвечающих ему критического волнового числа k_m и фазовой скорости возмущений u_m от числа Дарси для отношения толщин пористого и вязкого слоев $s=4$; параметр проскальзывания равен $\alpha=1$. Профили скорости изображены для значений числа Дарси 10^{-4} , 10^{-3} и 10^{-2} (фрагменты *a*, *b*, *в*). Напомним, что число Дарси определено по ширине пористого слоя, поэтому значения Da на фиг. 3 и 4 отвечают проницаемостям в 16 раз большим, чем соответствующие им значения Da на фиг. 1. Масштаб, в котором изображены профили скорости на фиг. 3, в 25 раз меньше, чем на фиг. 1 и 2. С уменьшением значения Da интенсивность течения резко падает, поэтому изобразить профили скорости для $Da < 10^{-4}$ в этом масштабе не удается.

Нарастающие тепловые волны, распространяющиеся с восходящим потоком, существуют при числах Дарси, меньших $4,43 \cdot 10^{-4}$, а волны, распространяющиеся с нисходящим потоком — меньших $1,14 \cdot 10^{-5}$. При всех

значениях Da , как и в случае $s=1$, наиболее опасны волны, бегущие вверх.

На фиг. 5 представлены нейтральные кривые гидродинамических возмущений для $s=4$, $\alpha=1$, $Pr=0,1$. Кривые 1–5 отвечают соответственно значениям числа Дарси 0 ; $2 \cdot 10^{-4}$; $3 \cdot 10^{-4}$; $3 \cdot 10^{-3}$; 10^{-2} . При достаточно больших значениях Da форма нейтральных кривых значительно искажается по сравнению со случаем $Da=0$. Для $s=1$ этот эффект выражен значительно слабее. Расчеты собственных функций рассматриваемой краевой задачи показывают, что при уменьшении волнового числа вдоль нейтральной кривой увеличивается проникновение возмущений в пористый слой; так что на правом конце горизонтального участка нейтральной кривой 4 возмущения локализованы в вязком слое, а на левом конце занимают целиком весь объем.

Во всей исследуемой области параметров критические гидродинамические возмущения, соответствующие минимуму нейтральной кривой $Gr(k)$,



Фиг. 5

с ростом Da все больше проникают в пористый слой, увеличивая свой характерный горизонтальный размер. При этом критические волновые числа k_m увеличиваются, что свидетельствует об уменьшении вертикального масштаба возмущений. Отметим, что масштаб критических возмущений в задаче об устойчивости равновесия жидкости в системе вязких и пористых горизонтальных слоев [1, 2] с ростом проницаемости пористого массива увеличивается как вдоль, так и поперек слоев.

Для всех значений параметров Da , s , α нейтральные кривые тепловой моды неустойчивости имеют такую же форму, как и в случае вертикального слоя жидкости между непроницаемыми границами. Обе тепловые волны, как бегущая вверх, так и бегущая вниз, локализованы в вязком слое и почти не проникают в пористый массив, а их скорости сопоставимы с максимальной скоростью в основном течении.

Характер полученных зависимостей Gr_m , k_m и u_m от числа Дарси обусловлен, по-видимому, конкурирующим воздействием двух факторов: увеличением интенсивности движения в вязком слое и отклонением профиля скорости от кубического при увеличении проницаемости пористого слоя. Результаты, приведенные в данной работе, с точностью до знака фазовой скорости возмущений справедливы и для случая подогрева жидкости со стороны пористой среды.

В заключение отметим, что кроме естественного требования $Da \ll 1$, $s^2 Da \ll 1$ существует еще одно ограничение на параметры задачи. Чтобы в пористой среде выполнялся принцип локального термодинамического равновесия, необходимо, чтобы характерное время рассасывания тепловых возмущений на масштабах порядка \sqrt{K} было много меньше характерных времен $|\lambda_i|^{-1}$ для возмущений, т. е.

$$Da Pr s \chi |\lambda_i| \ll 1$$

Для рассмотренных значений параметров последнее требование начинает нарушаться лишь при $s=4$, $\alpha=1$, $\text{Pr}=0,1$ вблизи $\text{Da}=10^{-2}$ для гидродинамической моды неустойчивости.

Автор благодарит Г. З. Гершуни за руководство работой и Д. В. Любимова за полезные обсуждения.

СПИСОК ЛИТЕРАТУРЫ

1. Любимов Д. В., Муратов И. Д. О конвективной неустойчивости жидкости в слоистой системе // Гидродинамика. Пермь: Перм. пед. ин-т, 1977. Вып. 10. С. 38–46.
2. Бирих Р. В., Рудаков Р. Н. Конвективная устойчивость горизонтального слоя жидкости с пористой перегородкой // Конвективные течения. Пермь: Перм. пед. ин-т, 1979. Вып. 1. С. 13–18.
3. Nield D. A. The boundary correction for the Rayleigh – Darcy problem: Limitations of the Brinkman equation // J. Fluid Mech. 1983. V. 128. P. 37–46.
4. Pillatsis G., Taslim M. E., Narusawa U. Thermal instability of a fluid-saturated porous medium bounded by thin fluid layers // Trans. ASME. J. Heat Transfer. 1987. V. 109. № 3. P. 677–687.
5. Beavers G. S., Joseph D. D. Boundary conditions at a naturally permeable wall // J. Fluid Mech. 1967. V. 30. Pt 1. P. 197–207.
6. Gill A. E. A proof that convection in a porous vertical slab is stable // J. Fluid Mech. 1969. V. 35. № 3. P. 545–547.
7. Georgiadis J. G., Catton I. Free convective motion in an infinite vertical porous slot: the non-Darcian regime // Int. J. Heat Mass Transfer. 1985. V. 28. № 12. P. 2389–2392.
8. Kwok L. P., Chen C. F. Stability of thermal convection in a vertical porous layer // Trans. ASME. J. Heat Transfer. 1987. V. 109. № 4. P. 889–893.
9. Rees D. A. S. The stability of Prandtl – Darcy convection in a vertical porous layer // Int. J. Heat Mass Transfer. 1988. V. 31. № 7, P. 1529–1534.
10. Гершуни Г. З., Жуховицкий Е. М. Конвективная устойчивость несжимаемой жидкости. М.: Наука, 1972. 392 с.
11. Липчин А. Т. Сопряженная задача устойчивости плоскопараллельного конвективного течения // Изв. АН СССР. МЖГ. 1989. № 4. С. 18–22.

Пермь

Поступила в редакцию
14.VIII.1989